

01;03

# О модификации теории пограничного слоя для расчета волновых движений в цилиндрической струе вязкой жидкости

© С.О. Ширяева

Ярославский государственный университет им. П.Г. Демидова,  
150000 Ярославль, Россия  
e-mail: shir@uniyar.ac.ru

(Поступило в Редакцию 20 февраля 2008 г.)

Существующие представления о пограничном слое вблизи свободной поверхности вязкой жидкости, связанном с ее периодическим движением, модифицированы для расчета волнового движения конечной амплитуды на поверхности толстой заряженной струи вязкой электропроводной жидкости. Для описания течения в пограничном слое предложена упрощенная, по сравнению с полной формулировкой, модельная задача, решение которой опирается на определяющие свойства точного решения в асимптотике малой вязкости: вид дисперсионного уравнения, профиль волны, скорость вязкого затухания со временем поля скоростей. Получена оценка толщины пограничного слоя, при которой в асимптотике малой вязкости различие между точным решением и решением модельной задачи (сформулированной в рамках предложенной теории) может быть задано с заранее оговоренной точностью. Определена область применимости модифицированной теории.

PACS: 47.15.Cb, 47.15.Uv, 47.35.Pq

## Введение

Основа существующих в настоящее время представлений о пограничном слое в окрестности свободной поверхности вязкой несжимаемой жидкости, совершающей периодические движения, была заложена в работе Лонгет-Хиггинса [1] в середине прошлого столетия. Лонгет-Хиггинс обратил внимание на то, что характерный линейный масштаб экспоненциального затухания с глубиной амплитуды вихревого движения, генерируемого периодической капиллярно-гравитационной волной, распространяющейся по плоской поверхности бесконечно глубокой вязкой жидкости, определяется выражением  $\delta_L \equiv \sqrt{2\nu/\omega}$ , где  $\nu$  — коэффициент кинематической вязкости, а  $\omega$  — частота волны.

Полагая, что экспоненциальность затухания с глубиной вихревого движения обеспечивает достаточно большую скорость его исчезновения, Лонгет-Хиггинс предложил считать, что все вихревое движение сконцентрировано в слое толщиной  $\delta$ , введя тем самым первую грубую оценку толщины пограничного слоя, связанного с волновым движением. С тех пор и до недавнего времени (см., например, [2–6]) оценки скорости вязкой диссипации энергии волн проводились на основе высказанных в [1] представлений. И только в работе [7] было проведено строгое аналитическое исследование представлений о пограничном слое у свободной поверхности жидкости, связанном с периодической волной, и было показано, что для обеспечения разумной (порядка единиц процентов) точности приближенных расчетов в рамках теории пограничного слоя его толщину необходимо увеличить минимум в четыре раза. В [8] эта теория была обобщена на случай однородно заряженной поверхности жидкости, а в [9] была предложена модификация теории

пограничного слоя на случай осцилляций заряженной капли.

Здесь следует отметить, что развитие в [7–9] теории пограничного слоя, связанного с периодическим движением свободной поверхности вязкой жидкости, основано на стремлении понизить громоздкость аналитических расчетов нелинейного периодического волнового движения в вязкой жидкости [10], нелинейных осцилляций заряженных капель [11] и заряженных струй [12] вязкой жидкости. Модификации теории пограничного слоя [7,9] для расчета осцилляций заряженной струи вязкой жидкости и посвящена настоящая работа.

## 1. Математическая формулировка и точное решение задачи

Рассмотрим задачу расчета периодических волновых движений свободной поверхности цилиндрической струи радиуса  $R$  несжимаемой электропроводной жидкости с плотностью  $\rho$ , коэффициентом кинематической вязкости  $\nu$  и коэффициентом поверхностного натяжения  $\sigma$ . Пусть в окружающем пространстве с помощью коаксиальных электродов создается электрическое поле, нормальное к поверхности струи, вследствие чего по невозмущенной волновым движением цилиндрической поверхности жидкости однородно распределен заряд с равновесной плотностью  $\chi$ .

Введем цилиндрическую систему координат, ось  $Oz$  которой направим вдоль оси симметрии цилиндрической струи, а начало координат примем движущимся вдоль оси с постоянной скоростью, равной скорости струи. Поле скоростей течения жидкости в такой системе будет определяться волновыми движениями свободной

поверхности. Рассмотрение ограничим анализом осесимметричных волн. Весь анализ проведем в безразмерных переменных, полагая три характерных физических масштаба обезразмеривания равными единице:  $R = \rho = \sigma = 1$ , тогда поле скоростей течения жидкости в струе  $\mathbf{u}(r, z, t)$ , поле давлений в жидкости  $p(r, z, t)$  будут иметь тот же порядок величины, что и волновая деформация  $\xi(z, t)$  цилиндрической формы  $r = 1$  струи.

В линейном приближении по амплитуде волновых колебаний функция  $\xi(z, t)$ , которую будем считать малой по сравнению с радиусом, поле скоростей  $\mathbf{u}(r, z, t)$  и поле давлений  $p(r, z, t)$  в жидкости определяются следующей задачей

$$0 \leq r \leq 1: \quad \partial_t \mathbf{u} + \nabla p - \nu \Delta \mathbf{u} = 0; \quad \nabla \mathbf{u} = 0; \quad (1)$$

$$r > 1: \quad \Delta \Phi = 0; \quad (2)$$

$$r = 1: \quad \partial_t \xi - u_r = 0; \quad \partial_r u_z + \partial_z u_r = 0;$$

$$-p + 2\nu \partial_r u_r + \chi(\partial_r \Phi + 4\pi\chi\xi) - (\xi + \partial_{zz}\xi) = 0; \quad (3)$$

$$\Phi - 4\pi\chi\xi = 0; \quad (4)$$

$$r \rightarrow 0: \quad u_r \rightarrow 0; \quad u_z \rightarrow \text{const}; \quad (5)$$

$$r \rightarrow \infty: \quad \nabla \Phi \rightarrow 0. \quad (6)$$

В представленной системе уравнений  $r, z$  — цилиндрические координаты;  $t$  — время;  $\partial_t$  и  $\partial_z$  — частные производные;  $u_z$  и  $u_r$  — осевая и радиальная составляющие вектора скорости:  $\mathbf{u}(\mathbf{r}, t) = u_z(\mathbf{r}, t) \mathbf{e}_z + u_r(\mathbf{r}, t) \mathbf{e}_r$ ;  $p(\mathbf{r}, t)$  и  $\Phi(\mathbf{r}, t)$  — добавки к равновесным значениям гидродинамического давления и электрического потенциала.

Решение гидродинамических уравнений (1) удобно искать методом операторной скалярзации, представляя поле скоростей в виде суперпозиции его потенциальной  $\mathbf{u}^{(p)}(\mathbf{r}, t)$  и вихревой  $\mathbf{u}^{(c)}(\mathbf{r}, t)$  частей (иными словами, вводя гидродинамический потенциал  $\varphi(\mathbf{r}, t)$  и функцию тока, определенную как  $r\partial_r\psi(\mathbf{r}, t)$ )

$$\mathbf{u}(\mathbf{r}, t) = \mathbf{u}^{(p)}(\mathbf{r}, t) + \mathbf{u}^{(c)}(\mathbf{r}, t) \equiv \hat{\mathbf{N}}_p \varphi(\mathbf{r}, t) + \hat{\mathbf{N}}_c \psi(\mathbf{r}, t). \quad (7)$$

Векторные операторы  $\hat{\mathbf{N}}_p$  и  $\hat{\mathbf{N}}_c$  выделяют потенциальную и вихревую составляющие поля скоростей, соответственно удовлетворяют условиям ортогональности и условиям коммутативности с оператором Лапласа

$$\hat{\mathbf{N}}_p = \nabla; \quad \hat{\mathbf{N}}_c = \nabla \times (\nabla \times \mathbf{e}_z);$$

$$\hat{\mathbf{N}}_p^+ \cdot \hat{\mathbf{N}}_c f(\mathbf{r}) = \hat{\mathbf{N}}_c^+ \cdot \hat{\mathbf{N}}_p f(\mathbf{r}) = 0;$$

$$\hat{\mathbf{N}}_i \Delta f(\mathbf{r}) = \Delta \hat{\mathbf{N}}_i f(\mathbf{r}); \quad (i = p, c). \quad (8)$$

Верхний индекс „+“ означает эрмитово сопряжение;  $f(\mathbf{r})$  — произвольная непрерывная скалярная функция координат.

Подстановка разложения (7) в систему (1), а также свойства (8) позволяют легко перейти от исходных уравнений гидродинамики относительно искомым функций  $u_z(\mathbf{r}, t)$ ,  $u_r(\mathbf{r}, t)$  и  $p(\mathbf{r}, t)$  к эквивалентной системе

трех скалярных уравнений относительно  $\varphi(\mathbf{r}, t)$ ,  $\psi(\mathbf{r}, t)$  и  $p(\mathbf{r}, t)$  [13]:

$$\Delta \varphi = 0; \quad \partial_t \psi - \nu \Delta \psi = 0; \quad p = -\partial_r \varphi. \quad (9)$$

Проекция вектора скорости, согласно (7) и (8), определяется через скалярные функции  $\varphi(\mathbf{r}, t)$  и  $\psi(\mathbf{r}, t)$  следующими соотношениями:

$$u_z = u_z^{(p)} + u_z^{(c)} = \partial_z \varphi - \frac{1}{r} \partial_r (r \partial_r \psi);$$

$$u_r = u_r^{(p)} + u_r^{(c)} = \partial_r \varphi + \partial_z \psi. \quad (10)$$

Решение сформулированной задачи в форме бегущей волны известно [13] и может быть записано в виде:

$$\xi(z, t) = \alpha \exp(st - ikz) + (\text{к.с.});$$

$$\begin{pmatrix} \varphi(\mathbf{r}, t) \\ \psi(\mathbf{r}, t) \\ p(\mathbf{r}, t) \\ \Phi(\mathbf{r}, t) \end{pmatrix} = \alpha \begin{pmatrix} (s + 2\nu k^2) I_0(kr) / (k I_1(k)) \\ -i 2\nu k I_0(lr) / (I_1(l)) \\ -s(s + 2\nu k^2) I_0(kr) / (k I_1(k)) \\ 4\pi\chi K_0(kr) / K_0(k) \end{pmatrix} \times \exp(st - ikz) + (\text{к.с.}). \quad (11)$$

Для потенциальной и вихревой составляющих вектора поля скоростей решение определяется выражениями

$$\begin{pmatrix} u_z^{(p)}(\mathbf{r}, t) \\ u_r^{(p)}(\mathbf{r}, t) \end{pmatrix} = \alpha \begin{pmatrix} -i(s + 2\nu k^2) I_0(kr) / I_1(k) \\ (s + 2\nu k^2) I_1(kr) / I_1(k) \end{pmatrix} \times \exp(st - ikz) + (\text{к.с.});$$

$$\begin{pmatrix} u_z^{(c)}(\mathbf{r}, t) \\ u_r^{(c)}(\mathbf{r}, t) \end{pmatrix} = \alpha \begin{pmatrix} i 2\nu k l I_0(lr) / I_1(l) \\ -2\nu k^2 I_1(lr) / I_1(l) \end{pmatrix} \times \exp(st - ikz) + (\text{к.с.}); \quad (12)$$

$$l = \sqrt{s/\nu + k^2}. \quad (13)$$

В формулах (11)–(13)  $\alpha$  — комплексная амплитуда поверхностной волны;  $k$  — волновое число;  $I_j(x)$  и  $K_j(x)$  — модифицированные функции Бесселя первого и второго рода  $j$ -го порядка; аббревиатура (к.с.) означает „комплексно сопряженные“ слагаемые;  $s$  — комплексная частота, определяемая из дисперсионного уравнения

$$s^2 - 2\nu [sG(k) - 2k^2(s + \nu k^2) \times (1 - G(k)/G(l))] + \omega^2 = 0; \quad (14)$$

$$\omega^2 \equiv G(k) [k^2 - 1 + 4\pi\chi^2 (1 - H(k))];$$

$$G(x) \equiv x I_1(x) / I_0(x); \quad H(x) \equiv x K_1(x) / K_0(x);$$

здесь  $\omega^2$  — квадрат частоты волновых движений поверхности струи идеальной жидкости, т.е.  $\omega = \lim_{\nu \rightarrow 0} s$ .

В пределе малой вязкости дисперсионное уравнение можно переписать в более простом виде с сохранением слагаемых, линейных по  $\nu$ , выписать его решение и получить явный вид параметра  $l$

$$s^2 + s2\nu(2k^2 - G(k)) + \omega^2 = 0;$$

$$s \approx \pm i\omega - \nu(2k^2 - G(k)); \quad l \approx (1 + i)\sqrt{\omega/2\nu}. \quad (15)$$

Асимптотическое (в пределе малой вязкости) решение всей задачи получим, выразив в решениях (12) параметры  $s$  и  $l$  по формулам (15)

$$p(\mathbf{r}, t) = -\alpha i\omega (i\omega - 2\nu(k^2 - G(k))) I_0(kr)/(kI_1(k)) \times \exp(st - ikz);$$

$$\begin{pmatrix} u_z^{(p)}(\mathbf{r}, t) \\ u_r^{(p)}(\mathbf{r}, t) \end{pmatrix} = \alpha \begin{pmatrix} (\omega - i\nu G(k))I_0(kr)/I_1(k) \\ (i\omega + \nu G(k))I_1(kr)/I_1(k) \end{pmatrix} \times \exp(st - ikz) + (\text{к. с.});$$

$$\begin{pmatrix} u_z^{(c)}(\mathbf{r}, t) \\ u_r^{(c)}(\mathbf{r}, t) \end{pmatrix} = \alpha \begin{pmatrix} i(1 + i)k\sqrt{2\nu\omega}I_0(lr)/I_1(l) \\ -2\nu k^2 I_1(lr)/I_1(l) \end{pmatrix} \times \exp(st - ikz) + (\text{к. с.}). \quad (16)$$

Выражения (16) позволяют выявить структуру аналитического решения для поля скоростей в приближении малой вязкости. Из (16) следует, что, во-первых, вихревая компонента скорости является малой добавкой к основной потенциальной составляющей; во-вторых, она существенно быстрее, чем потенциальная компонента, убывает с уменьшением координаты  $r$  (т.е. по мере удаления от поверхности струи к ее оси). Действительно, из асимптотического поведения модифицированных функций Бесселя при больших и малых аргументах следует, что вихревая составляющая скорости убывает по экспоненциальному закону  $u^{(c)} \sim \exp(-l(1-r))$ , в то время как поперечная и продольная проекции потенциальной составляющей скорости убывают по степенным законам:  $u_r^{(p)} \sim r$ ,  $u_z^{(p)} \sim (2/k)(1 + k^2 r^2/4)$ . Такая структура поля скоростей характерна для теории пограничного слоя, и можно полагать, что вихревая составляющая скорости существенна лишь в тонком слое вблизи свободной поверхности жидкости, в то время как в остальном объеме движение является потенциальным.

## 2. Формулировка задачи в рамках представлений о пограничном слое

Сформулируем модельную задачу исходя из выявленной выше структуры течения. Представление поля скоростей в виде (7) позволяет решать задачу для потенциальной компоненты во всем объеме жидкости, а для вихревой — лишь в тонком пограничном слое толщиной  $\delta$  (которую пока будем считать неопределенной).

В математической формулировке задачи (1)–(6) изменения коснутся только условий ограниченности решения на оси струи (5). Для точной задачи с учетом разложения (10) они принимали вид:  $r \rightarrow 0$ :  $\varphi \rightarrow 0$ ;  $\psi \rightarrow 0$ . В модельной задаче условие ограниченности решения на оси сохраняется для потенциальной компоненты поля скоростей, а для вихревой его составляющей потребуем обращения в нуль вихря на нижней границе пограничного слоя:  $r = 1 - \delta$ :  $\text{rot } \mathbf{u}^{(c)} = 0$ . Учитывая (9), (10), это условие несложно записать в терминах скалярной функции  $\psi$ :  $\text{rot } \mathbf{u}^{(c)} = \partial_r \Delta \psi \mathbf{e}_\varphi = 0 \Rightarrow \partial_r \Delta \psi = 0$ .

Из уравнения (9) для функции  $\psi$  и решения (11) следует:  $\Delta \psi = (1/\nu)\partial_t \psi = (s/\nu)\psi$  и условие обращения в нуль ротора скорости на нижней границе пограничного слоя принимает вид  $r = 1 - \delta$ :  $\partial_r \psi = 0$ .

В результате уравнения (9) для модельной задачи дополняются следующими граничными условиями

$$r = 1: \quad \partial_t \xi - u_r^{(p)} - u_r^{(c)} = 0; \quad (17)$$

$$\partial_r (u_z^{(p)} + u_z^{(c)}) + \partial_z (u_r^{(p)} + u_r^{(c)}) = 0; \quad (18)$$

$$-p + 2\nu \partial_r (u_r^{(p)} + u_r^{(c)}) + \chi(\partial_r \Phi + 4\pi\chi\xi) - (\xi + \partial_{zz}\xi) = 0; \quad (19)$$

$$r \rightarrow 0: \quad \varphi \rightarrow 0; \quad (20)$$

$$r = 1 - \delta: \quad \partial_r \psi = 0. \quad (21)$$

Электрический потенциал  $\Phi(\mathbf{r}, t)$  вблизи поверхности струи определяется из соотношений (2), (4), (6).

## 3. Решение модельной задачи

Решение сформулированной задачи для неизвестных функций  $\xi(z, t)$ ,  $\varphi(\mathbf{r}, t)$ ,  $\psi(\mathbf{r}, t)$ ,  $\Phi(\mathbf{r}, t)$  ищется в виде бегущих волн

$$\begin{pmatrix} \xi(z, t) \\ \varphi(\mathbf{r}, t) \\ \psi(\mathbf{r}, t) \\ \Phi(\mathbf{r}, t) \end{pmatrix} = \begin{pmatrix} \alpha \\ f(r) \\ h(r) \\ g(r) \end{pmatrix} \exp(st - ikz). \quad (22)$$

Подставив выражения для функций  $\varphi(\mathbf{r}, t)$ ,  $\psi(\mathbf{r}, t)$  и  $\Phi(\mathbf{r}, t)$  в уравнения (2), (9) и учитывая соответственно условия (6), (20), (21), получим следующие решения для искомых величин,

$$\begin{pmatrix} \xi(z, t) \\ \varphi(\mathbf{r}, t) \\ \psi(\mathbf{r}, t) \\ \Phi(\mathbf{r}, t) \end{pmatrix} = \begin{pmatrix} \alpha \\ aI_0(kr) \\ b(I_0(lr)/I_1(l\eta) + K_0(lr)/K_1(l\eta)) \\ 4\pi\chi\alpha K_0(kr)/K_1(k) \end{pmatrix} \times \exp(st - ikz); \quad (23)$$

$$l = \sqrt{s/\nu + k^2}; \quad \eta \equiv 1 - \delta.$$

Используя (9), (10), находим поля скоростей и давления

$$p(\mathbf{r}, t) = -saI_0(kr) \exp(st - ikz);$$

$$\begin{pmatrix} u_z^{(p)}(\mathbf{r}, t) \\ u_r^{(p)}(\mathbf{r}, t) \end{pmatrix} = a \begin{pmatrix} -ikI_0(kr) \\ kI_1(kr) \end{pmatrix} \exp(st - ikz);$$

$$\begin{pmatrix} u_z^{(c)}(\mathbf{r}, t) \\ u_r^{(c)}(\mathbf{r}, t) \end{pmatrix} = b$$

$$\times \begin{pmatrix} -l^2 \{ [I_0(lr)/I_1(l\eta)] + [K_0(lr)/K_1(l\eta)] \} \\ -ikl \{ [I_1(lr)/I_1(l\eta)] - [K_1(lr)/K_1(l\eta)] \} \end{pmatrix} \exp(st - ikz). \quad (24)$$

Подставив решения (23), (24) в граничные условия (17)–(19), получим систему трех линейных алгебраических уравнений для определения неизвестных констант  $\alpha$ ,  $a$  и  $b$

$$\begin{pmatrix} -s & kI_1(k) & -ikl f_1(l, \eta) \\ 0 & 2ik^2 I_1(k) & l(l^2 + k^2) f_1(l, \eta) \\ \omega^2/G(k)I_0(k)(s + 2\nu(k^2 - G(k))) & -2ivkl(l f_2(l, \eta) - f_1(l, \eta)) \end{pmatrix} \times \begin{pmatrix} \alpha \\ a \\ b \end{pmatrix} = \begin{pmatrix} 0 \\ 0 \\ 0 \end{pmatrix}; \quad (25)$$

$$f_1(l, \eta) \equiv I_1(l)/I_1(l\eta) - K_1(l)/K_1(l\eta);$$

$$f_2(l, \eta) \equiv I_0(l)/I_1(l\eta) + K_0(l)/K_1(l\eta).$$

Для нетривиального решения системы (25) необходимо, чтобы определитель, составленный из коэффициентов при неизвестных  $\alpha$ ,  $a$  и  $b$ , обращался в нуль. Это требование позволяет найти дисперсионное уравнение задачи

$$s^2 - 2\nu[sG(k) - 2k^2(s + \nu k^2) \times (1 - G(k)f(l, \eta))] + \omega^2 = 0; \quad (26)$$

$$f(l, \eta) \equiv \frac{f_2(l, \eta)}{f_1(l, \eta)} = \frac{[I_0(l)K_1(l\eta) + K_0(l)I_1(l\eta)]}{l[I_1(l)K_1(l\eta) - K_1(l)I_1(l\eta)]}.$$

Используя граничные условия (17), (18), можно выразить константы  $a$  и  $b$  через амплитуду волны  $\alpha$  и записать решение для полей скорости течения жидкости и давления в струе в виде

$$p(\mathbf{r}, t) = -\alpha s(s + 2\nu k^2) \frac{I_0(kr)}{kI_1(k)} \exp(st - ikz);$$

$$\begin{pmatrix} u_z^{(p)}(\mathbf{r}, t) \\ u_r^{(p)}(\mathbf{r}, t) \end{pmatrix} = \alpha \begin{pmatrix} -i(s + 2\nu k^2)I_0(kr)/I_1(k) \\ (s + 2\nu k^2)I_1(kr)/I_1(k) \end{pmatrix}$$

$$\times \exp(st - ikz);$$

$$\begin{pmatrix} u_z^{(c)}(\mathbf{r}, t) \\ u_r^{(c)}(\mathbf{r}, t) \end{pmatrix} = \alpha \begin{pmatrix} 2ivkl \frac{[I_0(lr)K_1(l\eta) + K_0(lr)I_1(l\eta)]}{[I_1(l)K_1(l\eta) - K_1(l)I_1(l\eta)]} \\ -2\nu k^2 \frac{[I_1(lr)K_1(l\eta) - K_1(lr)I_1(l\eta)]}{[I_1(l)K_1(l\eta) - K_1(l)I_1(l\eta)]} \end{pmatrix}$$

$$\times \exp(st - ikz). \quad (27)$$

Переход к точному решению соответствует стремлению толщины пограничного слоя к единице (к радиусу струи):  $\delta \rightarrow 1$ . Это соответствует стремлению параметра  $\eta$  к нулю. Учитывая, что при стремлении аргумента к нулю модифицированные функции Бесселя  $I_n(x)$  ограничены, а  $K_n(x) \rightarrow \infty$ , несложно получить, что

$$\lim_{\eta \rightarrow 0} f(l, \eta) = 1/G(l),$$

а предел выражений (26), (27) совпадает с соответствующими выражениями точного решения (12), (14).

В приближении малой, но не нулевой вязкости сохранение в дисперсионном уравнении (26) линейных по  $\nu$  слагаемых позволяет легко привести его к виду (15) (здесь следует учесть, что при  $\nu \rightarrow 0$  функция  $f(l, \eta)$  ведет себя как  $\sqrt{\nu}$ ). Таким образом, исследуемое движение в модельном приближении при малой вязкости подчиняется дисперсионному уравнению, которое получается в точном решении, т.е.  $s$  и  $l$  также определяются формулами (15).

#### 4. Упрощение модельной задачи

Опираясь на характерные свойства точного решения рассматриваемой задачи, можно упростить математическую формулировку модельной задачи (9), (10), (17)–(21) без ущерба для вида решения в пределе малой вязкости. Соответствующие рассуждения приводились в [7] при рассмотрении теории пограничного слоя для плоской свободной поверхности жидкости.

Отметим следующие наиболее существенные свойства точного решения:

— течение состоит из двух составляющих: основной — потенциальной и добавочной — вихревой (сосредоточенной в пограничном слое);

— вихревая часть течения является малой по сравнению с потенциальной и стремится к нулю при уменьшении вязкости жидкости  $\nu$ ;

— для потенциальной составляющей характерный линейный масштаб изменения одинаков как в продольном, так и в перпендикулярном к поверхности направлении и равен длине волны  $\lambda$  — характерному горизонтальному размеру поверхностного возмущения;

— характерный пространственный масштаб изменения вихревой компоненты течения в продольном направлении также равен  $\lambda$ , а в поперечном — существенно меньше и определяется толщиной пограничного слоя  $\delta \ll \lambda$ .

На основе вышеизложенного примем следующие правила оценки производных от искомых величин по пространственным переменным:

— для потенциальной составляющей поля скоростей (т.е. для функций  $u_z^{(p)}(\mathbf{r}, t)$ ,  $u_r^{(p)}(\mathbf{r}, t)$ ,  $\varphi(\mathbf{r}, t)$ ) дифференцирование по координатам  $z$  и  $r$  формально сводится к появлению множителя  $1/\lambda$  у соответствующей функции, например,  $\partial_z u_z^{(p)} \rightarrow u_z^{(p)}/\lambda$ ;

— для вихревой составляющей (т.е. для функций  $u_z^{(c)}(\mathbf{r}, t)$ ,  $u_r^{(c)}(\mathbf{r}, t)$ ,  $\psi(\mathbf{r}, t)$ ) оператор  $\partial_z$  переходит в  $1/\lambda$ , а  $\partial_r$  — в  $1/\delta$ , например,  $\partial_z u_z^{(c)} \rightarrow u_z^{(c)}/\lambda$ , но  $\partial_r u_z^{(c)} \rightarrow u_z^{(c)}/\delta$ .

В соответствии со сказанным выше, учитывая малость  $\delta$  по сравнению с  $\lambda$ , упрощение модельной задачи проведем, пренебрегая, где это возможно, слагаемыми, имеющими значение  $\sim \delta^2/\lambda^2$ .

В уравнении (9) для функции  $\psi(\mathbf{r}, t)$  можно пренебречь производными по координате  $z$ . Действительно, соотношение между слагаемыми в операторе Лапласа показывает, что

$$[\partial_{zz}\psi/(\partial_r(r\partial_r\psi)/r)] \sim \delta^2/\lambda^2.$$

Уравнение неразрывности (1), записанное для каждой из компонент течения (потенциальной и вихревой), позволяет получить оценки соотношений между величинами проекций соответствующих компонент

$$\begin{aligned} \nabla \cdot \mathbf{u}^{(p,c)} = 0 &\Rightarrow \frac{1}{r} \partial_r (r u_r^{(p,c)}) \sim \partial_z u_z^{(p,c)}; \\ u_r^{(p)} \sim u_z^{(p)} \sim V; \quad u_r^{(c)}/u_z^{(c)} &\sim \delta/\lambda, \end{aligned} \quad (28)$$

где  $V$  обозначает характерную скорость потенциального течения.

Учитывая (28), из динамического граничного условия для касательной компоненты тензора напряжений (18) можно оценить соотношение на поверхности струи между величинами проекций на оси координат потенциальной и вихревой компонент течения. Во-первых, несложно убедиться, что из двух „вихревых“ слагаемых уравнения (18) одним можно пренебречь:  $\partial_z u_r^{(c)}/\partial_r u_z^{(c)} \sim \delta u_r^{(c)}/\lambda u_z^{(c)} \sim \delta^2/\lambda^2$ . Во-вторых, в силу соотношений (10) очевидно, что „потенциальные“ слагаемые равны между собой:  $\partial_r u_z^{(p)} = \partial_r \partial_z \varphi = \partial_z \partial_r \varphi = \partial_z u_r^{(p)}$ . В результате граничное условие (18) может быть записано в виде  $2\partial_z u_r^{(p)} + \partial_r u_z^{(c)} = 0$ . Откуда следует, что  $\partial_r u_z^{(c)} \sim \partial_z u_r^{(p)}$ , и с учетом (28) получаем оценки

$$u_z^{(c)}/V \sim \delta/\lambda; \quad u_r^{(c)}/V \sim \delta^2/\lambda^2. \quad (29)$$

Согласно (29), в кинематическом граничном условии (17) следовало бы пренебречь последним слагаемым — вихревой компонентой скорости. Однако в этом случае получающееся в ходе решения упрощенной модельной задачи дисперсионное уравнение в пределе малой вязкости  $\nu \rightarrow 0$  не совпадает с пределом малой вязкости точного дисперсионного уравнения (15). Если в кинематическом граничном условии (17) сохранить вихревую компоненту скорости, несмотря на ее малость, дисперсионные уравнения точной и упрощенной модельной задач совпадают. Исходя из приведенных соображений уравнение (17) оставим без изменений.

В динамическом граничном условии для нормальной компоненты тензора напряжений (19) оценим отношение „вязких“ слагаемых к лапласовскому давлению. Из кинематического условия (17) следует, что

$\omega \cdot \xi \sim V$ , т.е.  $\xi \sim V/\omega$ . Кроме того, воспользуемся тем, что, согласно [1], для толщины пограничного слоя у свободной поверхности вязкой жидкости используется следующая оценка:  $\delta \sim \sqrt{\nu/\omega}$ , откуда получим  $\nu \sim \delta^2 \omega$ . Тогда отношение „вязких“ слагаемых к „лапласовским“ в (19) будет следующим:  $\nu \partial_r u_r^{(p)}/\xi \sim \omega^2 \delta^2/\lambda$ ;  $\nu \partial_r u_r^{(c)}/\xi \sim \omega^2 \delta^3/\lambda^2$ . Видно, что вторым из оцениваемых слагаемых (вихревым) можно пренебречь как имеющим более высокий порядок малости, чем  $\delta^2/\lambda^2$  при  $\delta \rightarrow 0$ .

Учитывая все описанные выше оценки, выпишем математическую формулировку упрощенной модельной задачи

$$\Delta \varphi = 0; \quad \partial_t \psi - \frac{\nu}{r} \partial_r (r \partial_r \psi) = 0; \quad p = -\partial_r \varphi; \quad (30)$$

$$r = 1: \quad \partial_r \xi - u_r^{(p)} - u_r^{(c)} = 0; \quad 2\partial_z u_r^{(p)} + \partial_r u_z^{(c)} = 0;$$

$$-p + 2\nu \partial_r u_r^{(p)} + \chi(\partial_r \Phi + 4\pi\chi\xi) - (\xi + \partial_{zz}\xi) = 0;$$

$$r \rightarrow 0: \quad \varphi \rightarrow 0; \quad r = 1 - \delta: \quad \partial_r \psi = 0.$$

Поле электрического потенциала  $\Phi(\mathbf{r}, t)$  вблизи поверхности струи определяется, как и прежде, из уравнений (2), (4), (6).

## 5. Решение упрощенной модельной задачи

Ход решения упрощенной задачи аналогичен решению исходной модельной задачи, однако объем вычислений уменьшается. Отметим, что модельные изменения и последующие упрощения коснулись только вихревой части течения, поэтому решения для потенциальной и электрической частей задачи останутся такими же, как и в точной задаче и определяются формулами (11), (12). Решение упрощенного уравнения для функции  $\psi(\mathbf{r}, t)$  (а следовательно, и выражения для  $u_z^{(c)}(\mathbf{r}, t)$  и  $u_r^{(c)}(\mathbf{r}, t)$ ) имеет такой же вид, как и в модельной задаче (см. (23), (24)), изменится лишь явный вид параметра  $l \equiv \sqrt{s/\nu}$ , а вместо системы уравнений (25) получим следующую:

$$\begin{pmatrix} -s & kI_1(k) & -ikl f_1(l, \eta) \\ 0 & 2ik^2 I_1(k) & l^3 f_1(l, \eta) \\ \omega^2/G(k) & I_0(k)(s + 2\nu(k^2 - G(k))) & 0 \end{pmatrix} \times \begin{pmatrix} \alpha \\ a \\ b \end{pmatrix} = \begin{pmatrix} 0 \\ 0 \\ 0 \end{pmatrix}.$$

Приравняв нулю определитель этой системы, в пределе малой вязкости, можно получить дисперсионное уравнение в виде

$$s^2 + s2\nu(2k^2 - G(k)) + \omega^2 = 0.$$

Видно, что это уравнение совпадает со взятыми в пределе малой вязкости дисперсионными уравнениями как точной, так и модельной задачи (см. (15)). В этом

же приближении выражения для комплексной частоты и параметра  $l$  определяются формулами (15), а решение упрощенной модельной задачи имеет вид (27). Таким образом, в приближении малой вязкости для моделирования течения в рамках теории пограничного слоя можно воспользоваться упрощенной математической формулировкой задачи (30).

Выразив в (27) параметры  $s$  и  $l$  по формулам (15), получим асимптотический (в пределе малой вязкости) вид решения, несколько отличающийся от полученных в точном решении выражений (16) для вихревой составляющей поля скоростей

$$\begin{pmatrix} u_z^{(c)}(\mathbf{r}, t) \\ u_r^{(c)}(\mathbf{r}, t) \end{pmatrix} = \alpha \begin{pmatrix} -i(1+i)k\sqrt{2\nu\omega} F_z^2(r, l, \eta) \\ -2\nu k^2 F_r^{(2)}(r, l, \eta) \end{pmatrix} \times \exp(st - ikz); \quad (31)$$

$$F_z^{(2)}(r, l, \eta) \equiv \frac{[I_0(lr)K_1(l\eta) + K_0(lr)I_1(l\eta)]}{[I_1(l)K_1(l\eta) - K_1(l)I_1(l\eta)]};$$

$$F_r^{(2)}(r, l, \eta) \equiv \frac{[I_1(lr)K_1(l\eta) - K_1(lr)I_1(l\eta)]}{[I_1(l)K_1(l\eta) - K_1(l)I_1(l\eta)]}. \quad (32)$$

Легко видеть, что отличие приближенного решения (31) от точного (16) заключается лишь в множителях  $F_z^{(2)}(r, D, \delta_L)$  и  $F_r^{(2)}(r, D, \delta_L)$ , которые в точных решениях имеют более простой вид:

$$F_z^{(1)}(r, l) \equiv I_0(lr)/I_1(l); \quad F_r^{(1)}(r, l) \equiv I_1(lr)/I_1(l). \quad (33)$$

## 6. Подбор толщины пограничного слоя

Исследуем, насколько хорошо соотношения (31) в зависимости от толщины пограничного слоя  $\delta$  аппроксимируют вихревую составляющую (16), полученную из точного решения. Аналогично тому, как это делалось в [7], толщину пограничного слоя будем считать определенной с точностью до постоянного множителя  $D$ , согласно следующим соотношениям:

$$\delta = D \delta_L; \quad \delta_L \equiv \sqrt{2\nu/\omega}, \quad (34)$$

где  $\delta_L$  — величина, предложенная для оценки толщины пограничного слоя Лонгет-Хиггинсом [1].

Введем новую координату  $x = (r - 1)/\delta$ , чтобы при изменении  $r$  в диапазоне  $1 - \delta \leq r \leq 1$  координата  $x$  изменялась в пределах  $-1 \leq x \leq 0$ . Аргументы модифицированных функций Бесселя в сравниваемых решениях примут следующий вид:

$$l = (1 + i)/\delta_L; \quad lr = (1 + i)(Dx + 1/\delta_L);$$

$$l\eta = (1 + i)(1/\delta_L - D),$$

а сами решения (31) и (16) будут отличаться только функциональными множителями  $F_z^{(2)}(x, D, \delta_L)$ ,  $F_r^{(2)}(x, D, \delta_L)$  в приближенном решении и  $F_z^{(1)}(x, D, \delta_L)$ ,  $F_r^{(1)}(x, D, \delta_L)$  в точном решении, определяющими зависимость решений от радиальной переменной  $x$ .

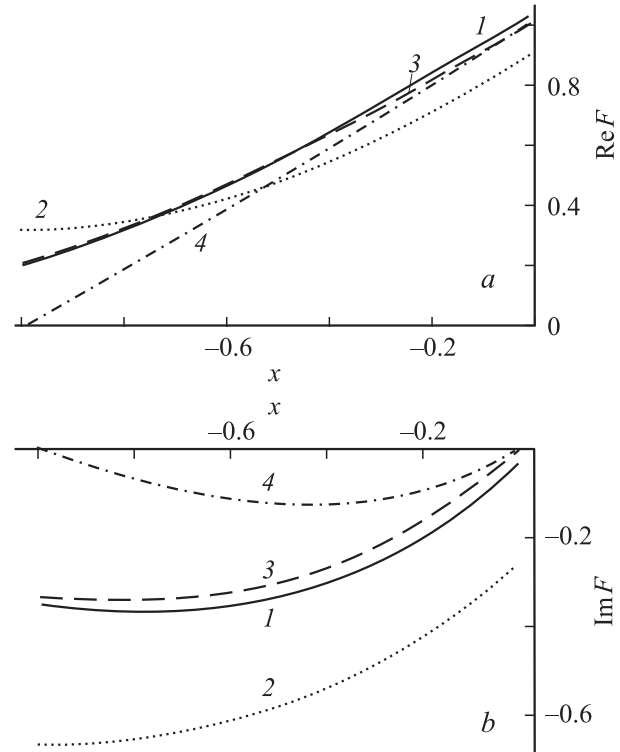


Рис. 1. Зависимости от безразмерной радиальной переменной  $x$  вещественной (а) и мнимой (б) частей функциональных множителей: 1 —  $F_z^{(1)}$ , 2 —  $F_z^{(2)}$ , 3 —  $F_r^{(1)}$ , 4 —  $F_r^{(2)}$ , рассчитанные при  $D = 1$ ,  $k = 2$ ,  $\nu = 0.01$ ,  $\chi = 0.3$  ( $W \approx 1.1$ ).

Зададимся вопросом, при каком значении коэффициента  $D$  в формуле (34) функции  $F_z^{(2)}(x, D, \delta_L)$ ,  $F_r^{(2)}(x, D, \delta_L)$  из модельного решения, определенные соотношениями (32), наилучшим образом описывают соответствующие функции  $F_z^{(1)}(x, D, \delta_L)$ ,  $F_r^{(1)}(x, D, \delta_L)$  точного решения, определенные соотношениями (33).

На рис. 1 показано, как изменяются реальные и мнимые части сравниваемых функций (32), (33) в диапазоне  $-1 \leq x \leq 0$  при значении коэффициента  $D = 1$ . Поведение функциональных множителей  $F_z^{(2)}$  и  $F_r^{(2)}$  сильно отличается от аналогичных множителей  $F_z^{(1)}$  и  $F_r^{(1)}$ , что свидетельствует о недостаточной корректности формулы:  $\delta_L \equiv \sqrt{2\nu/\omega}$ , предложенной для оценки толщины пограничного слоя в [1].

Отметим, что в отличие от задачи о волнах на плоской поверхности [7], в случае цилиндрической геометрии исследуемые функции (32), (33) зависят от параметра  $\delta_L$ , а следовательно, от таких физических характеристик задачи, как вязкость жидкости  $\nu$ , волновое число  $k$ , поверхностная плотность заряда  $\chi$  (см. выражение (14) для частоты  $\omega$ ). Выбор принятых для расчета значений безразмерных физических параметров:  $k = 2$ ,  $\nu = 0.01$ ,  $\chi = 0.3$  обусловлен следующими соображениями.

1) Значение безразмерной вязкости  $\nu = 0.01$  соответствует радиусу струи воды порядка десятых долей миллиметра, а струи этилового спирта — порядка

миллиметра. Увеличение радиуса соответствует уменьшению значения безразмерного параметра  $\nu$ , поэтому  $\nu = 0.01$  примерно соответствует верхней границе области реальных значений данного параметра в области практических приложений [12,14,15].

2) Из выражения (14) для частоты  $\omega$  следует, что на незаряженной поверхности струи идеальной жидкости устойчивы только достаточно короткие волны с  $k > 1$  (что соответствует  $\lambda < 2\pi R$ ). Принятое для модельных расчетов значение  $k = 2$  достаточно близко к границе области устойчивости — границе области применимости излагаемой теории.

3) Наличие электрического заряда на поверхности струи приводит к тому, что изначально устойчивая волна становится неустойчивой, если величина поверхностной плотности заряда превысит некоторое критическое значение  $\chi_{cr}$ . Для  $k = 2$  значение  $\chi_{cr} \approx 0.4$  [12,13], поэтому для расчетов принималась величина плотности заряда из области устойчивости  $\chi = 0.3$ . Заметим, что в работах с заряженной свободной поверхностью жидкости для оценки ее устойчивости по отношению к напряженности электрического поля часто используется безразмерный параметр:  $W \equiv E^2/4\pi$  [12]. В случае идеально проводящей жидкости он связан с поверхностной плотностью заряда соотношением  $W = 4\pi\chi^2$ . Значению  $\chi_{cr} \approx 0.4$  соответствует критическое значение  $W_{cr} \approx 2$ , в то время как принятое значение  $\chi = 0.3$  соответствует значению параметра, примерно равному половине критического:  $W \approx 1$ .

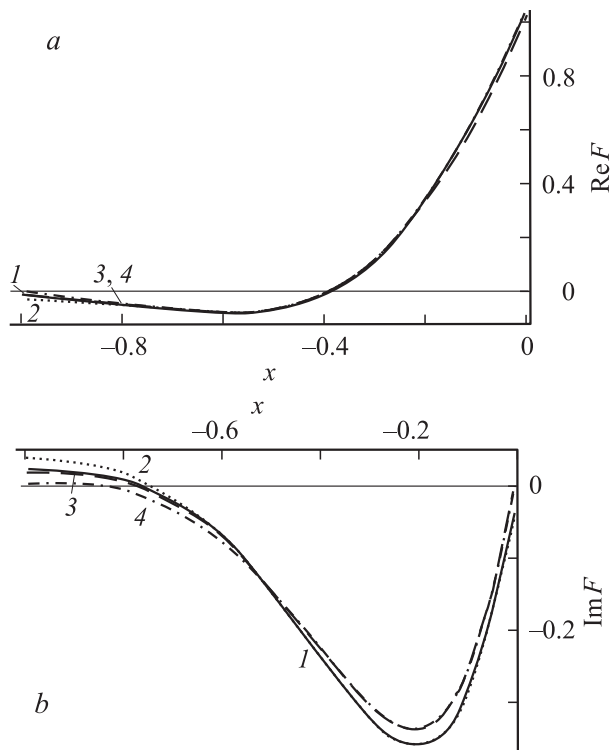


Рис. 2. Те же зависимости, что и на рис. 1, рассчитанные при  $D = 4$ .

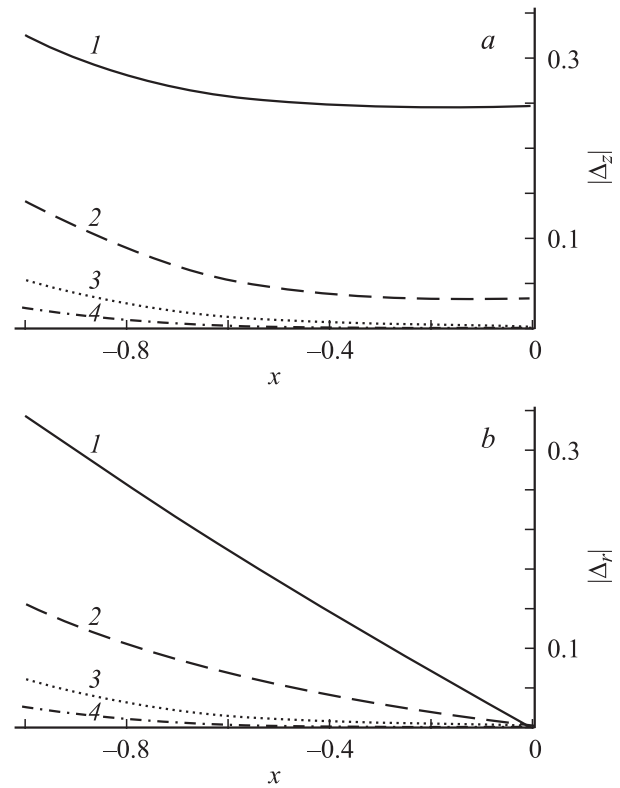


Рис. 3. Зависимости от безразмерной радиальной переменной  $x$  относительной погрешности  $|\Delta_z|$  аппроксимации точного выражения приближенным, рассчитанным в рамках теории пограничного слоя, для продольной проекции скорости течения жидкости — (а) и для радиальной компоненты скорости  $|\Delta_r|$  — (б), рассчитанные при  $k = 2$ ,  $\nu = 0.01$ ,  $\chi = 0.3$  ( $W \approx 1.1$ ) для различных значений параметра  $D$ : 1 —  $D = 1$ ; 2 — 2; 3 — 3; 4 —  $D = 4$ .

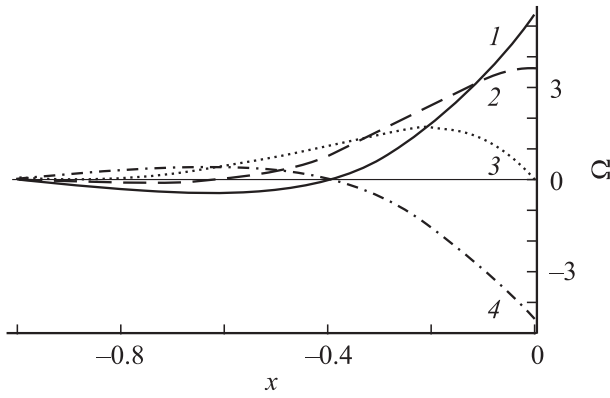
На рис. 2 приведены те же зависимости, что и на рис. 1, для  $D = 4$ . Увеличение  $D$  по сравнению с единицей улучшает соответствие модельного и точного решений, и уже при  $D = 4$  разница между решениями заметна лишь в непосредственной близости нижней границы пограничного слоя. Уменьшение относительной погрешности аппроксимации продольной и поперечной составляющей скорости с ростом параметра  $D$  хорошо иллюстрирует рис. 3, на котором показана зависимость от глубины  $x$  величин  $|\Delta_z|$  и  $|\Delta_r|$ , определяемых выражениями

$$|\Delta_z| = |F_z^{(1)} - F_z^{(2)}| / |F_z^{(1)}| \Big|_{x=0},$$

$$|\Delta_r| = |F_r^{(1)} - F_r^{(2)}| / |F_r^{(1)}| \Big|_{x=0}.$$

При значении  $D = 4$  погрешность на нижней границе пограничного слоя не превышает двух процентов для обеих компонент вектора скорости. Дальнейшее увеличение параметра  $D$  приведет к еще более значительному снижению погрешности, но это приведет и к увеличению толщины пограничного слоя, что не всегда желательно, а поэтому значение  $D = 4$  представляется оптимальным. Подводя итог сказанному выше, можно утверждать, что





**Рис. 4.** Зависимости от безразмерной радиальной переменной  $x$  в пределах пограничного слоя ротора поля скоростей, рассчитанные при  $D = 4$ ,  $z = 0$ ,  $k = 2$ ,  $\nu = 0.01$ ,  $\chi = 0.3$  ( $W \approx 1.1$ ) для различных моментов времени, измеренного в долях  $T$  — периода волны 1 —  $t = 0$ , 2 —  $t = T/8$ , 3 —  $t = T/4$ , 4 —  $t = T/2$ .

значение  $D = 4$  определяет ту толщину пограничного слоя  $\delta = D\delta_L$ , глубже которой вихревое движение жидкости можно не учитывать с контролируемой точностью.

Выпишем ротор поля скоростей волнового течения маловязкой жидкости в струе

$$\begin{aligned} \Omega &\equiv (\partial_z u_r^{(c)} - \partial_r u_z^{(c)}) \mathbf{n}_\varphi \\ &\equiv i\alpha \left[ 2\nu k^3 F_r^{(2)}(r, D, \delta_L) - (1+i)k\sqrt{2\nu\omega} \frac{\partial F_z^{(2)}(r, D, \delta_L)}{\partial r} \right] \\ &\times \exp(st - ikz) \mathbf{n}_\varphi. \end{aligned} \quad (35)$$

Несложно показать, что

$$\frac{\partial F_z^{(2)}}{\partial r} \equiv l F_r^{(2)}. \quad (36)$$

Подставим (36) в (35) и с учетом того, что при малой вязкости  $l = (1+i)\sqrt{\omega/2\nu}$ , получим

$$\begin{aligned} \Omega &\equiv (\partial_z u_r^{(c)} - \partial_r u_z^{(c)}) \mathbf{n}_\varphi \equiv [2ak(\omega + i\nu k^2) F_r^{(2)}(r, D, \delta_L) \\ &\times \exp(st - ikz) + \text{к. с.}] \mathbf{n}_\varphi, \end{aligned}$$

$\mathbf{n}_\varphi$  — орт угловой переменной цилиндрической системы координат, параллельный оси струи. Именно ротор поля скоростей определяет вихревое движение жидкости в струе.

Из рис. 4 видно, что в соответствии с рис. 2,а на нижней границе пограничного слоя ротор обращается в нуль, как это и требовалось в модельной постановке задачи. Видно также, что направления вращения вихрей в пограничном слое зависят как от расстояния до поверхности струи, так и от времени.

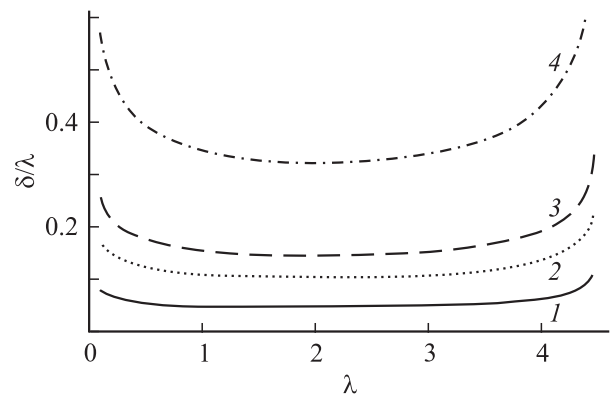
## 7. Пределы применимости предлагаемой модификации теории пограничного слоя

Увеличение волнового числа  $k$ , т.е. уменьшение длины волны, улучшает качество аппроксимации точного решения модельным в рамках теории пограничного слоя. Увеличение параметра вязкости  $\nu$ , так же как и приближение к критическому для реализации неустойчивости заряженной поверхности жидкости значению поверхностной плотности заряда, приводит к выходу за пределы области применимости теории пограничного слоя, и построенная теория перестает работать. Действительно, упрощение модельной задачи основано на малости толщины пограничного слоя  $\delta$  по сравнению с характерным линейным продольным масштабом возмущения свободной поверхности жидкости — длиной волны  $\lambda$ . Учитывая выражения (34), можно получить ограничение области регулярности принятых упрощений по величине безразмерного параметра вязкости

$$\frac{\delta}{\lambda} \ll 1 \Rightarrow \frac{D^2 \delta_L^2}{\lambda^2} \ll 1 \Rightarrow \nu \ll \frac{4\pi^2 \omega}{2k^2 D^2}.$$

Для принятых в расчетах значений  $k = 2$ ,  $\chi = 0.3$ ,  $D = 4$  правая часть последнего соотношения составляет  $\sim 0.4$  и, следовательно, верхняя граница параметра  $\nu \sim 0.04$ , что и подтверждается расчетами.

На рис. 5 приведены зависимости отношения  $\delta/\lambda$  от безразмерного волнового числа (обезразмеренного на радиус струи), рассчитанные для незаряженной струи и различных значений безразмерного коэффициента кинематической вязкости. Диапазон изменения безразмерного волнового числа  $\lambda$  естественным образом характеризуется неравенствами  $0 < \lambda < 2\pi$ , где верхний предел определяется условием обращения в нуль частоты в определении характерного масштаба пограничного слоя:  $\delta_L \equiv \sqrt{2\nu/\omega}$  (что соответствует проявлению капиллярной неустойчивости цилиндрической



**Рис. 5.** Зависимости отношения толщины пограничного слоя к длине волны  $\delta/\lambda$  от безразмерной длины волны, рассчитанные при  $D = 4$ ,  $\chi = 0$  ( $W = 0$ ) и различных значениях безразмерного коэффициента кинематической вязкости жидкости: 1 —  $\nu = 0.001$ , 2 — 0.005, 3 — 0.01, 4 — 0.05.



струи, сопровождающейся ее разбиением на отдельные капли под действием сил поверхностного натяжения, — см., например, [12,16,17]).

При  $\lambda \geq 2\pi$  частота  $s$  из комплексной величины становится чисто вещественной, что означает смену затухающего приодического волнового движения поверхности струи для волн из диапазона  $0 < \lambda < 2\pi$  на апериодическое с растущей во времени амплитудой в диапазоне  $\lambda \geq 2\pi$  (при этом квадрат мнимой части комплексной частоты  $s$  переходит из области положительных значений через нуль в область вещественных отрицательных значений, а положение такого перехода определяется условием  $\omega^2 = 0$  [12]). Из выражения для  $\delta_L$  видно, что при  $\omega \rightarrow 0$  толщина пограничного слоя неограниченно увеличивается. Это соответствует распространению вихревого движения на весь объем струи.

Из рис. 5 видно, что левые и правые концы кривых загибаются кверху, что означает ограниченную применимость теории пограничного слоя в соответствующих диапазонах длин волн. Левые концы кривых поднимаются при  $\lambda \rightarrow 0$  из-за того, что в дроби  $\delta/\lambda$  длина волны стоит в знаменателе. Если построить чистые зависимости  $\delta = \delta(\lambda)$ , то при  $\lambda \rightarrow 0$  они независимо от величины коэффициента кинематической вязкости сходятся в начале координат. Иными словами, при  $\lambda \rightarrow 0$  толщина пограничного слоя также стремится к нулю  $\delta \rightarrow 0$ , но несколько медленнее, чем  $\sim \lambda$ . Правые концы кривых на рис. 5 поднимаются при  $\lambda \rightarrow 2\pi$  за счет стремления частоты волны при таком переходе к нулю и соответствующего неограниченного роста толщины пограничного слоя.

Поскольку обезразмеривание коэффициента кинематической вязкости проведено на  $\sqrt{\sigma R/\rho}$ , то по заданному значению безразмерного коэффициента кинематической вязкости, например  $\nu = \nu_*$ , для конкретной жидкости можно найти минимальный радиус струи, для которого еще можно использовать обсуждаемую теорию пограничного слоя:  $R_{\min} = \rho \nu^2 / \sigma \nu_*^2$ . Так, полагая, согласно рис. 5, что необходимую точность расчетов может обеспечить безразмерный коэффициент кинематической вязкости  $\nu = \nu_* = 0.01$ , для воды можно найти  $R_{\min} \approx 150 \mu\text{m}$ . При  $\nu = \nu_* = 0.05$  для воды можно найти  $R_{\min} \approx 6 \mu\text{m}$ .

Из сказанного выше следует, что предлагаемая модификация теории пограничного слоя применима для расчетов волновых течений жидкости в струе маловязкой жидкости в диапазоне длин капиллярных волн, по отношению к которым струя устойчива  $0 < \lambda < 2\pi$ , за исключением некоторых окрестностей (зависящих от величины безразмерного коэффициента кинематической вязкости) границ диапазона. Наличие на струе вязкой электропроводной жидкости электрического заряда приводит к некоторому смещению правой границы диапазона  $0 < \lambda < 2\pi$  в сторону меньших значений длин волн, поскольку электрический заряд на струе играет дестабилизирующую роль для всех волн из обсуждаемого диапазона [12].

## Заключение

Теория пограничного слоя может быть использована для аналитического расчета течений, связанных с капиллярными волнами на свободной поверхности струи маловязкой жидкости, и для исследования устойчивости заряженной струи. Более простая математическая процедура решения задачи расчета течений в заряженной струе вязкой жидкости в рамках развитой теории пограничного слоя по сравнению с процедурой анализа точной математической модели позволяет надеяться на снижение трудоемкости расчета нелинейных волн на поверхности струи вязкой электропроводной жидкости.

Работа выполнена при поддержке грантов РФФИ № 05-08-01147-а и 06-01-00066-а.

## Список литературы

- [1] Longuet-Higgins M.S. // Royal. Soc. London. Trans. Ser. A. 1953. Vol. 245. N 903. P. 535–581.
- [2] Longuet-Higgins M.S. // J. Fluid Mech. 1992. Vol. 240. P. 659–679.
- [3] Fedorov A.V., Melville W.K. // J. Fluid Mech. 1998. Vol. 354. P. 1–42.
- [4] Wu J.Z. // Phys. Fluid. 1995. Vol. 7. N 10. P. 2375–2395.
- [5] Lundgren T., Koumoutsakos P. // J. Fluid Mech. 1999. Vol. 382. P. 351–366.
- [6] Pozrikidis C. // J. Fluid Mech. 2000. Vol. 425. P. 335–366.
- [7] Белоножко Д.Ф., Григорьев А.И. // ЖТФ. 2007. Т. 77. Вып. 8. С. 19–28.
- [8] Белоножко Д.Ф., Григорьев А.И. // ЖТФ. 2008. Т. 78. Вып. 3. С. 21–28.
- [9] Жаров А.Н., Ширяева С.О., Жарова И.Г., Григорьев А.И. // ЭОМ. 2007. № 5. С. 39–47.
- [10] Белоножко Д.Ф., Григорьев А.И. // ЖТФ. 2004. Т. 74. Вып. 3. С. 5–13.
- [11] Жаров А.Н., Григорьев А.И., Ширяева С.О. // ЖТФ. 2005. Т. 75. Вып. 12. С.33–42.
- [12] Ширяева С.О., Григорьев А.И., Волкова М.В. Спонтанный капиллярный распад заряженных струй. Ярославль: Изд-во ЯрГУ, 2007. 340 с.
- [13] Григорьев А.И., Ширяева С.О., Левчук Т.В., Рыбакова М.В. // ЖТФ. 2003. Т. 73. Вып. 5. С.5–12.
- [14] Ширяева С.О., Григорьев А.И., Святченко А.А. Классификация режимов работы электродинамических источников ионов. Препринт ИМ РАН № 25. Ярославль, 1993. 118 с.
- [15] Аметистов Е.В., Блаженков В.В., Городков А.К. и др. Монодиспергирование вещества: принципы и применение / Под ред. В.А. Григорьева. М.: Энергоатомиздат, 1991. 336 с.
- [16] Стретт Дж.В. (Лорд Рэлея). Теория звука. Т. 2. М.: Гостехиздат, 1955. 475 с.
- [17] Левич В.Г. Физико-химическая гидродинамика. М.: Физматгиз, 1959. 700 с.